

**Лекція 5. Методи синтезу паралельних алгоритмів. Паралельні алгоритми обчислення рекурсій.**

*План лекції.*

1. Поняття дрібнозернистого та крупнозернистого алгоритмів; сильнозв'язані та слабозв'язані задачі.
2. Деякі загальні методи синтезу паралельних алгоритмів:
  - декомпозиція за даними;
  - функціональна декомпозиція;
  - декомпозиція області розв'язання задачі;
  - реструктуризація даних.
3. Поняття рекурсії.
4. Паралельні алгоритми обчислення рекурсій:
  - алгоритм паралельного каскадного сумування;
  - алгоритм циклічної редукції.

**1. Зернистість** алгоритму або ступінь його **грануляції** розглядають як міру ступеня паралелізму цього алгоритму. **Дрібнозернистий** алгоритм дозволяє виділити в ньому паралельні гілки лише малого обсягу. А **крупнозернистий** алгоритм складається із незалежних або слабозв'язаних гілок значного обсягу, які можуть оброблятися паралельно. Крупнозернистий алгоритм часто ще називають **крупно-блочним** алгоритмом.

Задача, для якої відомі лише дрібнозернисті алгоритми її розв'язання, називається **сильнозв'язаною** задачею. А задача, для якої відомий хоча б один крупнозернистий алгоритм її розв'язання, називається **слабозв'язаною** задачею.

Очевидно, що паралельні алгоритми, орієнтовані на *SIMD*- та *MIMD*-системи, суттєво **відрізняються** своєю **зернистістю**.

**2. Паралелізмом за даними** володіють задачі, які включають у себе неодноразове виконання одного і того ж фрагменту обчислень з різними вхідними даними. Такі обчислення, очевидно, можуть виконуватися паралельно. Якщо задача володіє паралелізмом за даними, то відповідну паралельну програму доцільно розробляти у вигляді сукупності однакових процесів, кожен з яких виконується на своєму підпорядкованому процесорі, та головного процесу, який виконується на керуючому процесорі. Алгоритм, який реалізує така паралельна **програма**, є зазвичай **крупнозернистим**. Схематично це можна подати так, як показано на рис.1.

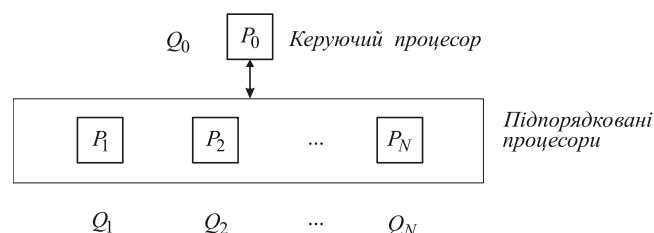


Рис. 1

Тут  $Q_0$  – головний процес, а  $Q_1, Q_2, \dots, Q_N$  – однакові підпорядковані процеси.

**Метод розпаралелювання** на підставі паралелізму даних називається **декомпозицією за даними**. Розглянемо простенький приклад застосування цього методу. Нехай на  $N$ -процесорній *MIMD*-обчислювальній системі необхідно виконати додавання двох векторів  $\vec{a}, \vec{b}$  з кількістю компонент  $n$  кожний і одержати унаслідок цього вектор  $\vec{c}$  з такою ж кількістю компонент. Тоді **декомпозиція за даними** полягає в розподіленні  $n/N$  елементів векторів  $\vec{a}, \vec{b}$  по процесорах  $P_1, P_2, \dots, P_N$  і обчисленні відповідних елементів результуючого вектора  $\vec{c}$ .

**Декомпозиція за даними** може бути **статичною і динамічною**. У разі статичної декомпозиції за даними кожному процесорові наперед призначається його частка даних. У випадку ж динамічної декомпозиції блоки даних розподіляються по процесорах під час розв’язання задачі в порядку надходження даних і звільнення відповідних процесорів.

**Функціональний паралелізм** – це паралелізм груп операцій, об’єднаних за функціональною ознакою. Метод розпаралелювання на підставі функціонального паралелізму називається **функціональною декомпозицією**. Тривіальним прикладом функціональної декомпозиції є декомпозиція деякої задачі на **чотири такі підзадачі**: введення початкових даних, оброблення їх, виведення результатів, візуалізація результатів. Паралелізм при цьому досягається унаслідок одночасного виконання чотирьох вказаних підзадач і створення «конвеєра» між ними. Зазначимо, що кожна із згаданих підзадач може володіти паралелізмом за даними. У разі функціональної декомпозиції задачі кількість використовуваних процесорів визначається кількістю підзадач. Збільшити кількість процесорів з метою збільшення швидкості розв’язання задачі за такого підходу є досить проблематично.

**Геометричним паралелізмом** володіють, наприклад, фізичні задачі, що описуються диференціальними рівняннями в частинних похідних (задачі механіки суцільного середовища, теорії поля тощо). Такі задачі зазвичай розв’язуються з допомогою методів скінченних різниць або скінченних елементів. Для дискретних аналогів таких задач характерними є локально-обмежені взаємодії між вузлами сітки, що покриває область розв’язання. А це дозволяє розбити цю область на «підобласті» і обчислення в кожній із них «доручити» окремому процесору. Схематично це виглядає так, як зображено на рис. 2.

Тут  $\Omega = \Omega_1 \cup \Omega_2 \cup \dots \cup \Omega_N$ . **Відмінність** геометричного паралелізму від паралелізму за даними полягає в тому, що підзадачі оброблення кожної із підобластей  $\Omega_i$  ( $i = \overline{1, N}$ ) взаємозв’язані між собою (потрібен обмін даними між цими підзадачами).

**Метод декомпозиції області** розв’язання є ефективним за умови, що обчислювальна складність кожної із підзадач є приблизно однаковою. Крім цього, для ефективності даного методу програма, що виконується деяким процесором  $P_i$ , повинна використовувати лише невеликий обсяг даних, розташованих на інших процесорах. Бажано, щоб ці, не локальні дані були розташовані на невеликій кількості сусідніх процесорів.

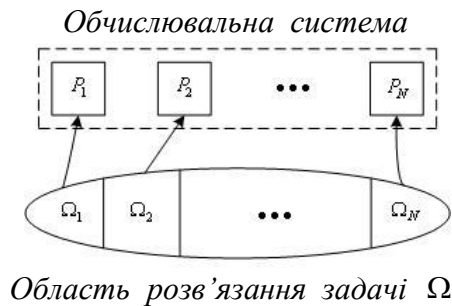


Рис. 2

Можна виділити **статичну декомпозицію** області розв'язання і **динамічну**. Якщо обчислювальні складності підзадач оброблення кожної із підобластей  $\Omega_i$  ( $i = \overline{1, N}$ ) змінюються в процесі обчислень, то **статична декомпозиція** області може виявитися малоефективною. У цьому випадку може бути більш доцільною **динамічна декомпозиція** області, за якої межі між підобластями змінюються під час обчислень. Така ситуація є можливою, наприклад, під час розв'язування задач механіки суцільного середовища на **адаптивних сітках**.

**Метод реструктуризації даних** продемонструємо на відомому вже прикладі. Розглянемо задачу обчислення добутку  $n = 8$  дійсних чисел  $a_1, a_2, \dots, a_8$ . У найпростішому випадку обчислення цього добутку можна організувати у відповідності з графом алгоритму, тобто послідовно. Якщо для обчислень використовується  $N > n$  процесорів, то у даному разі в кожний момент часу простоюють усі процесори, крім одного. Більш ефективним для розв'язання сформульованої задачі є алгоритм, що реалізує схему повного двійкового дерева, який можна застосовувати для будь-якої асоціативної операції. У цьому випадку висота ЯПФ дорівнює 3, а її ширина дорівнює 4. Однак, якщо у нас є хоча б 4 процесори, то на першому кроці будуть залучені усі з них, на другому – лише два, а на третьому – один. Якщо ж виявляться потрібними значення деяких проміжних добутків, то на всіх кроках можна залучити по 4 процесори.

**3.** У чисельному аналізі **рекурсії** використовують досить широко (розв'язання СЛАР методом виключення Гаусса і будь-яким із ітераційних методів, більшість методів інтегрування звичайних диференціальних рівнянь тощо).

Рекурсія за своєю суттю, задає послідовність обчислень і тому є певною проблемою для розпаралелювання. Обмежимося розглядом **лінійних рекурсій** вигляду:

$$x_j = a_j x_{j-1} + d_j, \quad j = \overline{1, n}, \quad (1)$$

де  $x_0; a_1, a_2, \dots, a_n; d_1, d_2, \dots, d_n$  – задані константи. Нехай  $x_0 = a_1 = 0$  (цього легко досягти, якщо прийняти  $d_1 = d_1 + a_1 x_0$ ). У даному випадку граф алгоритму для обчислення (1) при  $n = 4$  зображено на рис. 3.

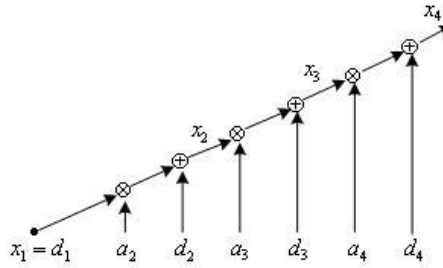


Рис. 3

**4. Розглянемо алгоритм паралельного каскадного сумування.** Покладемо  $a_2 = a_3 = \dots = a_n = 1$ . У цьому випадку формула (1) є рекурентним записом алгоритму сумування чисел  $d_1, d_2, \dots, d_n$ .

Структура інформаційних зв'язків алгоритму паралельного каскадного сумування для випадку  $n = 8$  подана на рис. 4.

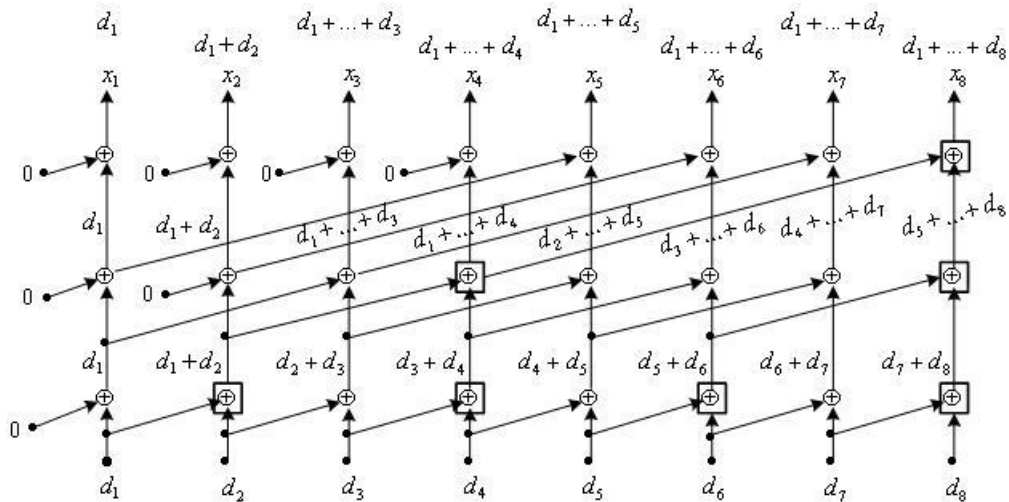


Рис. 4

Наведений алгоритм дозволяє одержати разом з величиною  $x_n$  усі проміжні величини  $x_1, x_2, \dots, x_{n-1}$ . Якщо потрібне лише значення величини  $x_n$ , то достатньо виконати лише ті додавання, які виділені на рисунку квадратики. У цьому випадку алгоритм перетворюється в алгоритм сумування за схемою **повного двійкового дерева**.

Легко побачити, що висота ярусно-паралельної форми (ЯПФ) алгоритму каскадного сумування дорівнює  $\lceil \log_2 n \rceil$ , а ширина кожного із ярусів дорівнює  $n$ . Зазначимо також, що наведений алгоритм збільшує загальну кількість операцій з  $(n-1)$  до  $n \lceil \log_2 n \rceil$ , де  $\lceil M \rceil$  – це найближче ціле число, що є більшим або дорівнює  $M$ .

Розглянемо **алгоритм циклічної редукції** (з латині «редукція» означає зведення, в логіці та математиці – це прийом зведення складного до простого). Покладемо тепер, що має місце  $a_2 \neq 1, a_3 \neq 1, \dots, a_n \neq 1$ . **Головна ідея** алгоритму циклічної редукції полягає в об'єднанні суміжних членів рекурсії так, щоб одержати співвідношення між членами рекурсії  $x_j, x_{j-2}$ . Унаслідок цього одержуємо нову лінійну рекурсію з кількістю членів  $n/2$ , яка зв'язує кожену другу змінну вихідної

рекурсії. У цій новій рекурсії знову об'єднаємо суміжні члени і одержимо рекурсію з кількістю членів  $n/4$ , яка зв'язує кожную четверту змінну вихідної рекурсії. І т.д. Після  $\log_2 n$  таких редукцій одержимо формулу для обчислення  $x_n$ . Розглянемо далі описану схему більш детально.

#### Редукція 1.

Із (1) випливає, що  $x_{j-1} = a_{j-1}x_{j-2} + d_{j-1}$ . Підставивши цей вираз в (1), одержимо лінійну рекурсію між кожним другим членом вихідної послідовності:

$$x_j = a_j(a_{j-1}x_{j-2} + d_{j-1}) + d_j = a_j a_{j-1} x_{j-2} + a_j d_{j-1} + d_j = a_j^{(1)} x_{j-2} + d_j^{(1)},$$

де  $a_j^{(1)} = a_j a_{j-1}$ ;  $d_j^{(1)} = a_j d_{j-1} + d_j$ .

#### Редукція 2.

За тією ж схемою із попередньої рекурсії одержимо лінійну рекурсію між кожним четвертим членом вихідної рекурсії:

$$x_{j-2} = a_{j-2}^{(1)} x_{j-4} + d_{j-2}^{(1)};$$

$$x_j = a_j^{(1)} a_{j-2}^{(1)} x_{j-4} + a_j^{(1)} d_{j-2}^{(1)} + d_j^{(1)} = a_j^{(2)} x_{j-4} + d_j^{(2)},$$

де  $a_j^{(2)} = a_j^{(1)} a_{j-2}^{(1)}$ ;  $d_j^{(2)} = a_j^{(1)} d_{j-2}^{(1)} + d_j^{(1)}$ .

#### Редукція k.

За такою ж схемою із попередньої рекурсії одержимо наступну лінійну рекурсію:

$$x_j = a_j^{(k)} x_{j-2^k} + d_j^{(k)}, \quad (2)$$

де  $a_j^{(k)} = a_j^{(k-1)} a_{j-2^{k-1}}^{(k-1)}$ ;  $d_j^{(k)} = a_j^{(k-1)} d_{j-2^{k-1}}^{(k-1)} + d_j^{(k-1)}$ ;  $a_j^{(0)} = a_j$ ;  $d_j^{(0)} = d_j$ .

Якщо у формулі (2) нижні індекси виходять за межі відрізка  $[1, n]$ , то відповідну компоненту рекурсії прирівнюємо до нуля.

#### Редукція $\log_2 n$ .

За розглянутою схемою одержуємо  $x_j = a_j^{(\log_2 n)} x_{j-n} + d_j^{(\log_2 n)}$ , а звідси маємо

$$x_n = d_n^{(\log_2 n)},$$

де  $d_n^{(\log_2 n)} = a_n^{(\log_2 n-1)} \cdot d_{n-2^{\log_2 n-1}}^{(\log_2 n-1)} + d_n^{(\log_2 n-1)} = a_n^{(\log_2 n-1)} \cdot d_{n/2}^{(\log_2 n-1)} + d_n^{(\log_2 n-1)}$ .

Отже, у відповідності до алгоритму циклічної редукції обчислення рекурсії зводиться до обчислення коефіцієнтів  $a_j^{(k)}$ ,  $d_j^{(k)}$ , де  $k = 1, 2, \dots, \log_2 n$ , при цьому слід мати на увазі, що  $a_j^{(0)} = a_j$ ;  $d_j^{(0)} = d_j$ . Обчислення згаданих коефіцієнтів бу-

демо виконувати **за схемою**, близькою до **паралельного каскадного сумування**. На наступному рисунку (див. рис. 5) наведена така схема для обчислення  $a_j^{(k)}$  у разі, коли  $n = 8$ .

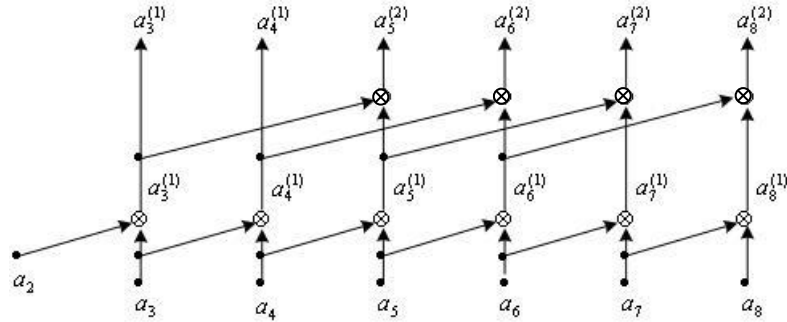


Рис. 5

Зауважимо, що на цьому рисунку показані лише фактично використовувані коефіцієнти. Легко побачити, що висота ЯПФ наведеного алгоритму обчислення коефіцієнтів  $a_j^{(k)}$  дорівнює  $\log_2 n - 1$ , тобто 2, а ширина ярусів змінюється **приблизно** від  $n-2$  до  $n/2$ , тобто відповідно від 6 до 4.

Розглянемо схему обчислення коефіцієнтів  $d_j^{(k)}$  у разі, коли  $n = 8$  (див. рис. 6).

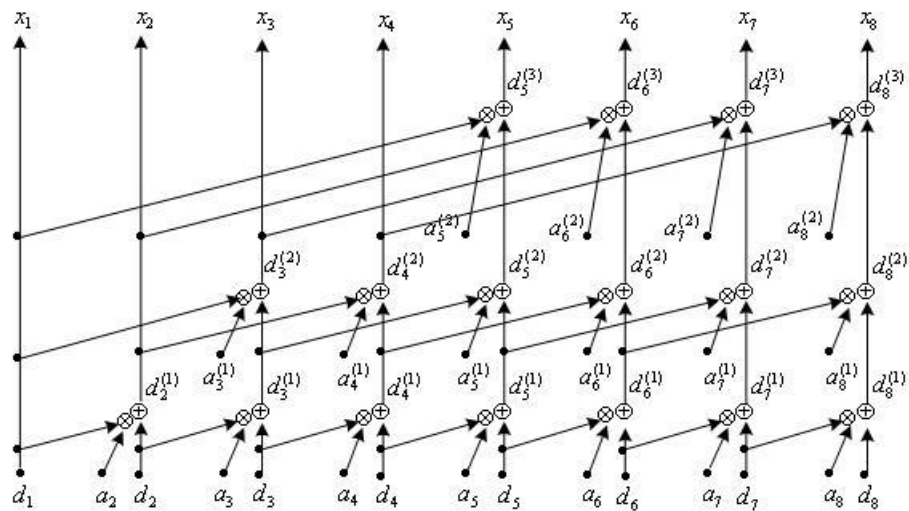


Рис. 6

Із наведеного рисунку бачимо, що висота ЯПФ такого алгоритму обчислення коефіцієнтів  $d_j^{(k)}$  дорівнює  $\log_2 n$ , тобто 3, а ширина ярусів змінюється **приблизно** від  $n-1$  до  $n/2$ , тобто відповідно від 7 до 4.